

Formelsammlung Echtzeit Bildverarbeitung

Mario Felder

4. Juli 2014

Inhaltsverzeichnis

1	Einführung	1
1.1	Rasterung	1
1.2	Nachbarschaftsrelationen und Abstand	3
1.3	Globale Charakterisierung von Bildern	4
1.3.1	Histogramm	4
1.3.2	Mittelwert	4
1.3.3	Varianz	4
2	Punktoperationen und Bildverknüpfungen	7
2.1	Transformationstabellen (LUT)	7
2.2	Lineare und nichtlineare Grauwerttransformationen . . .	8
2.2.1	Spreizung	8
2.2.2	Gammakorrektur	9
2.3	Histogrammausgleich	9
2.4	Arithemische und logische Bildverknüpfungen	10
2.4.1	Differenzbildung zur Motiondetektion	10
2.4.2	Hintergrundschtätzung durch gleitenden Mittelwert	12
2.4.3	Hintergrundschtätzung durch statistische Analyse	13
3	Filteroperatoren im Ortsraum	15
3.1	Lineare Filter - Faltung	16
3.1.1	Glätten von Bildern (Tiefpass)	17
3.1.2	Kantenhervorhebung (Hochpass)	17
3.1.3	Bildschärfung	20
3.2	nichtlineare Filter	21
3.2.1	Rangordnungsoperatoren - Median-Filter	21

3.2.2	morphologische Operatoren	22
4	Fourier-Transformation	27
4.1	1D Fourier-Transformation	27
4.2	Diskrete 2D Fourier-Transformation	28
4.3	Periodische Strukturen	29
4.4	Unterdrückung periodischer Störungen	30
4.5	Deconvolution	31
5	Segmentierung und Merkmalsextraktion	33
5.1	Automatisierte Schwellwertbestimmung	33
5.2	Beschreibung der ROIs	36
5.2.1	Region Labeling	36
5.2.2	Kettencode	37
5.3	Merkmalsextraktion	37
6	Linien-Segmentierung und Merkmalsextraktion	41
6.1	Kantendetektion	41
6.2	Linienextraktion (Hough-Transformation)	43
6.3	Detektion von Kreisen mittels Hough Transformation . .	44

Kapitel 1

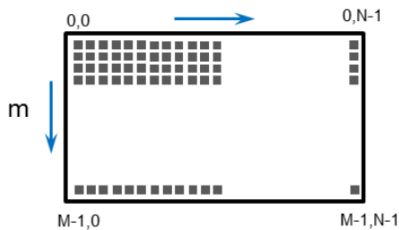
Einführung

Die Bilddaten können mathematisch als Matrix beschrieben werden:

$$I = [I_{m,n}]$$

mit $0 \leq m \leq M - 1$ und $0 \leq n \leq N - 1$

Achtung: MATLAB verwendet das Intervall $[1, N]$ bzw. $[1, M]$



1.1 Rasterung

Die Rasterung ist ein Mass für die Detailtreue eines Bildes. Bei gegebener CCD- bzw. CMOS-Sensorgrösse ($M \times N$ Pixel) wird die Auflösung

durch die geometrische Abbildung bestimmt.

Dabei gelten folgende Zusammenhänge:

$$\frac{1}{g} + \frac{1}{b} = \frac{1}{f} \quad \Leftrightarrow \quad b = \frac{f \cdot g}{g - f}$$

f : Brennweite

b : Bildweite

g : Gegenstandsweite

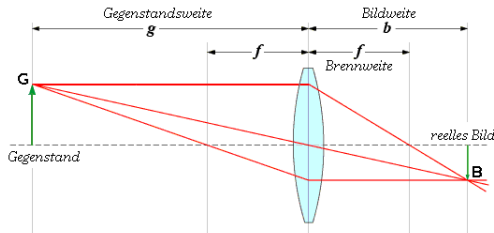
Häufig ist $g \gg b$ und es kann somit $b = f$ gesetzt werden.

Weiter ergibt sich daraus:

$$\frac{B}{G} = \frac{b}{g}$$

B : Bildgrösse

G : Gegenstandsgrösse



Auflösung bei einem Sensor mit $N \times M$ Pixel Auflösung:

$$G_b = \frac{g \cdot W}{b \cdot N}$$
$$G_h = \frac{g \cdot H}{b \cdot M}$$

G_b : Auflösung in $\frac{mm}{Pixel}$ (Breite)

G_h : Auflösung in $\frac{mm}{Pixel}$ (Höhe)

W : Breite des Sensors [mm]

H : Höhe des Sensors [mm]

N : Horizontale Pixel

M : Vertikale Pixel

1.2 Nachbarschaftsrelationen und Abstand

Vierer-Nachbarschaft:

	$m - 1, n$	
$m, n - 1$	m, n	$m, n + 1$
	$m + 1, n$	

Achter-Nachbarschaft:

$m - 1, n - 1$	$m - 1, n$	$m - 1, n + 1$
$m, n - 1$	m, n	$m, n + 1$
$m + 1, n - 1$	$m + 1, n$	$m + 1, n + 1$

Euklidische Abstandsnorm:

$$d(I_{m,n}, I_{p,q}) = \sqrt{(m - p)^2 + (n - q)^2}$$

Maximum Abstandsnorm:

$$d(I_{m,n}, I_{p,q}) = \max(|m - p|, |n - q|)$$

1.3 Globale Charakterisierung von Bildern

1.3.1 Histogramm

Das Histogramm gibt die absolute oder relative $p_I(g)$ Häufigkeit aller Grauwerte $g \in [0, 255]$ eines Bildes an.

Relative Häufigkeit:

$$0 \leq p_I(g) \leq 1 \quad , \forall g$$
$$\sum_g p_I(g) = 1$$

Kumulative Häufigkeit:

$$h_I(g) = \sum_{g' \leq g} p_I(g') \quad , h_I(255) = 1$$

1.3.2 Mittelwert

$$\mu_I = \frac{1}{M \cdot N} \sum_{m,n} I_{m,n} = \sum_g g \cdot p_I(g)$$

1.3.3 Varianz

$$\sigma_I^2 = \frac{1}{M \cdot N} \sum_{m,n} (I_{m,n} - \mu_I)^2 = \sum_g (g - \mu_I)^2 \cdot p_I(g)$$

Lösung in MATLAB:

```
1 %read image
2 Image = imread( 'sample.png' );
3
4 %using formula
5 [M, N] = size(Image);
6 mu = sum(Image(:))/(M*N)
7
8 sd = sum((double(Image(:)) - mu).^2)/(M*N);
9 sd = sqrt(sd)
10
```



```
11 %with MATLAB function
12 mu = mean2(Image)
13 sd = std2(Image)
14
15 %using the histogram
16 [Count, Value] = imhist(Image);
17 RelCount = Count/sum(Count);
18 mu = sum(Value .* RelCount)
19
20 sd = sum((Value - mu).^2 .* RelCount);
21 sd = sqrt(sd)
```

Lösung in C:

```
1  for(int m = 0; m < M; m++){
2      for(int n = 0; n < N; n++){
3          sum += Image[m][n];
4      }
5  }
6  mu_I = sum/(M*N);
7
8  /**
9   *
10  * TODO
11  *
12  **/
```


Kapitel 2

Punktoperationen und Bildverknüpfungen

2.1 Transformationstabellen (LUT)

Jedem Grauwert $g \in G$ wird ein Grauwert $g' \in G'$ über eine Abbildung f zugeordnet:

$$f : G \rightarrow G' \quad , f(g) = g'$$

Lösung in MATLAB:

```
1 %read image
2 Image = imread('sample.png');
3
4 %LUT for inverse image
5 LUT_Inv = uint8([255:-1:0]);
6
7 %apply LUT
8 ImageInv = intlut(Image, LUT_Inv);
9
10 %LUT for screener
11 LUT_Scr = uint8(1.5*[0:255]);
12
13 %apply LUT
```

```
14 ImageScr = intlut(Image, LUT_Scr);
```

2.2 Lineare und nichtlineare Grauwerttransformationen

Eine allgemeine lineare Grauwerttransformation lässt sich in folgender Notation schreiben:

$$f : [0, 255] \rightarrow [0, 255] \in \mathbb{R}$$
$$f(g) := \begin{cases} 0 & ,\text{falls } (g + c_1) \cdot c_2 < 0 \\ 255 & ,\text{falls } (g + c_1) \cdot c_2 > 255 \\ (g + c_1) \cdot c_2 & ,\text{sonst } (c_1, c_2 \in \mathbb{R}) \end{cases}$$

2.2.1 Spreizung

Sind die Grauwerte eines Bildes auf das Intervall $[g_1, g_2]$ beschränkt, so kann durch Anwendung der linearen Grauwerttransformation als Spreizung die werte auf das gesamte Intervall $[0, 255]$ verteilt werden:

$$f : [0, 255] \rightarrow [0, 255] \in \mathbb{R}$$
$$f(g) := \begin{cases} 0 & ,\text{falls } g < g_1 \\ 255 \cdot \frac{g - g_1}{g_2 - g_1} & ,\text{falls } g \in [g_1, g_2] \\ 255 & ,\text{falls } g > g_2 \end{cases}$$

Lösung in MATLAB:

```
1 %read image
2 Image = imread('sample.png');
3
4 %LUT for spreading gray values
5 LUT_Spread = uint8(([0:255] - 50) * 2);
6
7 %apply LUT
8 ImageSpread = intlut(Image, LUT_Spread);
```

2.2.2 Gammakorrektur

Ein wichtiges Beispiel der nichtlinearen Grauwerttransformation ist die Gammakorrektur. Der Ursprung dieser nichtlinearen Korrektur der Grauwert liegt in der Nichtlinearität von Aufnahme- und Darstellungssystemen.:

$$f : [0, 255] \rightarrow [0, 255] \in \mathbb{R}$$

$$f(g) := 255 \cdot \left(\frac{g}{255} \right)^\gamma$$

Lösung in MATLAB:

```
1 %read image
2 Image = imread('sample.png');
3
4 %LUT for gamma correcture
5 LUT_Gamma = uint8(255*([0:255]/255).^0.5);
6
7 %apply LUT
8 ImageGammad = intlut(Image, LUT_Gamma);
```

2.3 Histogrammausgleich

Die Idee des Histogrammausgleichs ist, die Grauwerte so zu verteilen, dass jeder gleich häufig vorkommt. Dies kann allerdings nicht ganz erreicht werden, da die Grauwerte diskret sind. Näherungsweise kann die kumulierte Häufigkeit $h_I(g)$ herangezogen werden. Bei einer konstanten absoluten Häufigkeit, würde die kumulierte Häufigkeit linear anwachsen.

Die entsprechende Transformation:

$$f : [0, 255] \rightarrow [0, 255] \in \mathbb{R}$$

$$f(g) := g_{max} \cdot \sum_{g'=0}^g p_I(g')$$

Lösung in MATLAB:

```
1 %read image
2 Image = imread('sample.png');
3
4 [Hist, Val] = imhist(Image);
5 CumHist = cumsum(Hist)/sum(Hist);
6
7 %LUT for histogram equalization
8 LUT_Equ = uint8(CumHist*255);
9 %apply LUT
10 ImageEqu = intlut(Image, LUT_Equ);
```

2.4 Arithmetische und logische Bildverknüpfungen

Während die Punktoperationen auf Einzelbildern vor allem der besseren optischen Darstellung von Bildern dienen, eröffnen Punktoperationen auf mehreren Bildern ein grosses Repertoire an Methoden, die schon erste einfache Computer Vision Anwendungen erlauben.

2.4.1 Differenzbildung zur Motiondetektion

Eine Methode zur Change Detektion basiert auf der Berechnung von Differenzbildern. Dabei wird vorausgegangen, dass eine Serie von Bildern als Funktion der Zeitstempel aufgenommen werden:

$$I(t) = I(t_k) = I(k \cdot \Delta t) = I_k$$

Differenzbild Berechnung:

$$\Delta I_{k+n} = \frac{1}{2} \cdot (255 + I_{k+n} - I_k) = \frac{1}{2} \cdot (255 + I((k+n) \cdot \Delta t) - I(k \cdot \Delta t))$$

Auf das Differenzbild kann noch eine Schwellwertoperation angewandt werden:

$$f : [0, 255] \rightarrow \{0, 255\}$$

$$f(g) := \begin{cases} 0 & , \text{ falls } g < g_1 \vee g > g_2 \\ 255 & , \text{ falls } g \in [g_1, g_2] \end{cases}$$

$$\begin{aligned} \text{mit } g_1 &= 128 - \textit{threshold}, \\ g_2 &= 128 + \textit{threshold} \end{aligned}$$

Lösung in MATLAB:

```
1 function [ThreshImage, DiffImage] =  
    MotionDetektionFunct(ImageAct, ImageOld)  
2  
3 global Threshold  
4  
5 %this is the threshold value (chosen manually)  
6 Threshold = 15;  
7  
8 %cast  
9 ImageAct = double(ImageAct);  
10 ImageOld = double(ImageOld);  
11  
12 %calculate difference image  
13 DiffImage = (255 + ImageAct - ImageOld) / 2;  
14  
15 %calculate the threshold image  
16 ThreshImage = (abs(DiffImage - 128) > Threshold);  
17  
18 DiffImage = uint8(DiffImage);
```

2.4.2 Hintergrundschätzung durch gleitenden Mittelwert

Ziel ist es, eine möglichst exakte Hypothese des unbeweglichen Hintergrundes $B(t_k) = B(k \cdot \Delta t) = B_k$ der Bilder I_k zu ermitteln. Angenommen, dass der Hintergrund jedes Pixels mehrheitlich sichtbar ist, kann durch ein einfaches gleitendes Mittel eine brauchbare Hypothese B_k bestimmt werden:

$$B_k = \alpha \cdot B_{k-1} + (1 - \alpha) \cdot I_k \quad , \alpha \in]0, 1[$$

Eine plötzlich auftretende stationäre Änderung in der Bildfolge I_k ist nach $n \cdot \Delta t$ Zeitschritten zu folgendem Anteil p in die Hintergrundhypothese B_k integriert:

$$p = 1 - \alpha^n$$

Lösung in MATLAB:

```
1 function [ThreshImage, DiffImage, BackGround] =  
    GleitendesMittelFunct(ImageAct, BackGround, Params)  
2  
3 %make everything double  
4 BackGround = double(BackGround);  
5 ImageAct = double(ImageAct);  
6  
7 %calculate foreground estimate  
8 DiffImage = abs(BackGround - ImageAct);  
9 %estimate new background as sliding average  
10 BackGround = Params.AvgFactor * BackGround + ...  
11     (1 - Params.AvgFactor) * ImageAct;  
12  
13 %calculate the threshold image  
14 ThreshImage = DiffImage > Params.Threshold;
```


2.4.3 Hintergrundschätzung durch statistische Analyse

Die grundlegende Idee ist, für jedes Pixel individuell die Helligkeitsschwankungen zu messen und durch ein einfaches statistisches Modell zu approximieren. Letzteres besteht in einer Gauss'schen Approximation der Grauwertfluktuationen des Pixels durch das Paar aus Mittelwert und Varianz (μ, σ) . Hierbei wird für jedes Pixel individuell die Schätzung von Mittelwert und Varianz über die Zeitschritte $k \cdot \Delta t$ folgendermassen durchgeführt:

$$\begin{aligned}\mu_k &= \alpha \cdot \mu_{k-1} + (1 - \alpha) \cdot I_k \\ \sigma_k &= \alpha \cdot \sigma_{k-1} + (1 - \alpha) \cdot (\mu_k - I_k)^T \cdot (\mu_k - I_k) \quad , \alpha \in]0, 1[\end{aligned}$$

Das Aufdatieren erfolgt nur, wenn sich der Mittelwert μ_k und aktueller Pixelwert I_k nur um weniger als $thr \cdot \sigma_k$ unterscheiden.

Kapitel 3

Filteroperatoren im Ortsraum

Bei diesen Filteroperationen werden für die Transformation eines Pixels auch die Werte der Nachbapixel in Betracht gezogen.

$$f : G \rightarrow G'$$
$$f(g) = f_{I_{p,q}}(I_{m,n}) = g' \quad , (p, q) \neq (m, n)$$

Klassifikationen der Filteroperatoren:

homogene Filter:

Die Berechnung der Transformation $f(g)$ wird für jedes Pixel unabhängig von dessen Position im Bild vorgenommen.

inhomogene Filter:

Die Berechnung der Transformation $f(g)$ hängt explizit von der Position des Pixels im Bild ab.

lineare Filter:

Die Berechnung der Transformation $f(g)$ hängt für jedes Pixel linear von $g = I_{m,n}$ und den Werten der Nachbarpixel $I_{p,q}$ ab.

nicht lineare Filter:

Für die Berechnung der Transformation $f(g)$ eines Pixels werden die Werte von $g = I_{m,n}$ und der Nachbarpixel $I_{p,q}$ in nicht linearer Weise verknüpft.

3.1 Lineare Filter - Faltung

Mathematische Beschreibung der Faltung $I \otimes h$ eines Bildes $I_{m,n}$ mit einer Maske $h_{p,q}$:

$$I \otimes h : I_{m,n} \rightarrow \sum_{p=-u}^u \sum_{q=-v}^v I_{m-p,n-q} \cdot h_{p,q}$$

Rechengesetze:

Kommutativität: $I \otimes J = J \otimes I$

Assoziativität: $(I \otimes J) \otimes K = I \otimes (J \otimes K)$

Distributivität: $I \otimes (J + K) = I \otimes J + I \otimes K$

skalare Assoziativität: $a \cdot (I \otimes J) = (a \cdot I) \otimes J = I \otimes (a \cdot J)$

Durch Anwendung der Rechenregeln kann eine Maske effizient angewendet werden, indem sie aus zwei eindimensionalen Masken zusammengesetzt wird:

$$I \otimes h = (I \otimes h_x) \otimes h_y$$

3.1.1 Glätten von Bildern (Tiefpass)

Bei der Glättung wird ein Pixel durch die Mittelung des Pixels mit den Nachbarpixeln ersetzt. Dies dient zur Rauschunterdrückung oder als Vorstufe zum Dezimieren der räumlichen Auflösung (eng. down sampling).

Verwendete Standardfilter sind Rechteck- oder Gaussmasken:

$$R = \frac{1}{9} \begin{bmatrix} 1 & 1 & 1 \\ 1 & 1 & 1 \\ 1 & 1 & 1 \end{bmatrix} \quad G = \frac{1}{16} \begin{bmatrix} 1 & 2 & 1 \\ 2 & 4 & 2 \\ 1 & 2 & 1 \end{bmatrix}$$

Damit der Wertebereich der Abbildung $G' = [0 \ 255]$ bleibt, muss die Summe über alle Maskenkoeffizienten 1 ergeben.

Lösung in MATLAB:

```
1 clear 'all'; close 'all'; format compact;
2
3 %read image
4 Image = imread('sample.png');
5
6 %convert to double
7 Image = double(Image);
8
9 %apply a filter of size 2x2
10 ImageFiltered = imfilter(Image, ones(2)/4);
11 imshow(Image1,[0 255]);
```

3.1.2 Kantenhervorhebung (Hochpass)

Harte Grauwertübergänge eines Bildes werden verstärkt, während weiche Übergänge abgeschwächt werden. Hierbei ist der Gradienten Filter eine wichtige Filterklasse. Diese berechnet den Gradienten, d.h. die

Ableitung der Grauwerte $I_{m,n}$ eines Bildes.

$$\begin{aligned}\frac{\partial I(x, y)}{\partial x} &= \lim_{\Delta x \rightarrow 0} \frac{I(x + \Delta x, y) - I(x - \Delta x, y)}{2 \cdot \Delta x} = \frac{I_{m,n+1} - I_{m,n-1}}{2} \\ \frac{\partial I(x, y)}{\partial y} &= \lim_{\Delta y \rightarrow 0} \frac{I(x, y + \Delta y) - I(x, y - \Delta y)}{2 \cdot \Delta y} = \frac{I_{m+1,n} - I_{m-1,n}}{2}\end{aligned}$$

Mit folgenden Filtern kann diese Berechnung des Gradienten durchgeführt werden:

$$h_x = \frac{1}{2} \cdot \begin{bmatrix} -1 & 0 & 1 \end{bmatrix} \quad h_y = \frac{1}{2} \cdot \begin{bmatrix} -1 \\ 0 \\ 1 \end{bmatrix}$$

Da diese fehleranfällig auf Rausche sind, wird jeweils mit einem Glättungsfilter kombiniert.

Prewitt-Filter:

$$h_x = \begin{bmatrix} 1 \\ 1 \\ 1 \end{bmatrix} \otimes \begin{bmatrix} -1 & 0 & 1 \end{bmatrix} = \begin{bmatrix} -1 & 0 & 1 \\ -1 & 0 & 1 \\ -1 & 0 & 1 \end{bmatrix} \quad h_y = \begin{bmatrix} -1 \\ 0 \\ 1 \end{bmatrix} \otimes \begin{bmatrix} 1 & 1 & 1 \end{bmatrix} = \begin{bmatrix} -1 & -1 & -1 \\ 0 & 0 & 0 \\ 1 & 1 & 1 \end{bmatrix}$$

Sobel-Filter:

$$h_x = \begin{bmatrix} 1 \\ 2 \\ 1 \end{bmatrix} \otimes \begin{bmatrix} -1 & 0 & 1 \end{bmatrix} = \begin{bmatrix} -1 & 0 & 1 \\ -2 & 0 & 2 \\ -1 & 0 & 1 \end{bmatrix} \quad h_y = \begin{bmatrix} -1 \\ 0 \\ 1 \end{bmatrix} \otimes \begin{bmatrix} 1 & 2 & 1 \end{bmatrix} = \begin{bmatrix} -1 & -2 & -1 \\ 0 & 0 & 0 \\ 1 & 2 & 1 \end{bmatrix}$$

Lösung in MATLAB:

```
1 clear 'all'; close 'all'; format compact;
2
3 %read image
4 Image = imread('sample.png');
5
6 %convert to double
7 Image = double(Image);
```

```
8
9 %choose the filters
10 Sobel = 1;
11 if Sobel == 1
12     DX = [1;2;1] * [-1 0 1];
13     DY = DX';
14 else
15     DX = ones(3,1) * [-1 0 1];
16     DY = DX';
17 end
18
19 %apply the DX and DY filter
20 ImageDx = uint8(128+imfilter(Image, DX));
21 ImageDy = uint8(128+imfilter(Image, DY));
```

Der Gradient kann auch als Vektor dargestellt werden mit dem Betrag $\frac{dI}{dr}$ und Winkel α :

$$\frac{dI}{dr} = \sqrt{\left(\frac{\partial I}{\partial x}\right)^2 + \left(\frac{\partial I}{\partial y}\right)^2} \quad \alpha = \arctan \frac{\frac{\partial I}{\partial y}}{\frac{\partial I}{\partial x}}$$

Lösung in MATLAB:

```
1 clear 'all'; close 'all'; format compact;
2
3 %read image
4 Image = imread('sample.png');
5
6 %convert to double
7 Image = double(Image);
8
9 %choose the filters
10 Sobel = 1;
11 if Sobel == 1
12     DX = fspecial('sobel');
13     DY = fspecial('sobel');
14 else
15     DX = fspecial('prewitt');
16     DY = fspecial('prewitt');
17 end
18
19 %apply the DX and DY filter
20 ImageDx = imfilter(Image, DX);
```

```

21 ImageDy = imfilter(Image, DY);
22
23 %calculate the norm of the derviative
24 ImageDr = sqrt(ImageDx.^2 + ImageDy.^2);
25
26 %determine the angle (atan2 gives back the whole interval
    ]-pi , pi[ )
27 Angle = pi+atan2(ImageDy, ImageDx);
28 %use only those values that are above a given threshold
29 Angle(ImageDr < threshold) = 0;
30
31 %plot
32 imshow(ImageDr, [0 255]);
33 imshow(Angle, [0 255]);
34 map=colormap(jet);
35 map(1,:) = 0;
36 colormap(map)
37 colorbar;

```

3.1.3 Bildschärfung

Für die Bildschärfung wird der Laplace Operator verwendet, welcher ein linearer richtungsunabhängiger Operator ist. Er ist definiert als die Summe der zweiten Ableitung:

$$\Delta I = L = \frac{\partial^2 I}{\partial x^2} + \frac{\partial^2 I}{\partial y^2}$$

Die Approximation für diskrete Werte $I_{m,n}$ des Bildes (nur für x, y analog dazu):

$$\begin{aligned}
 I_{xx} &\approx \frac{I_x(x+1, y) - I_x(x, y)}{1} \\
 &\approx \frac{I(x+1, y) - I(x, y)}{1} - \frac{I(x, y) - I(x-1, y)}{1} \\
 \frac{\partial^2 I}{\partial x^2} &\approx I_{x+1} - 2 \cdot I_x + I_{x-1}
 \end{aligned}$$

Die dazugehörige Maske:

$$L = \begin{bmatrix} 0 & -1 & 0 \\ -1 & 4 & -1 \\ 0 & -1 & 0 \end{bmatrix}$$

Für die Bildschärfung wird der Laplace Operator in Kombination mit dem Identischen Operator I verwendet:

$$I + \beta \cdot L$$

β : Grad der Bildschärfung

Lösung in MATLAB:

```
1 clear 'all'; close 'all'; format compact;
2
3 %read image
4 Image = imread('sample.png');
5
6 %convert to double
7 Image = double(Image);
8
9 %define the filter
10 Beta = 0.5;
11 Mask = [0 0 0; 0 1 0; 0 0 0] + Beta * [0 -1 0; -1 4 -1; 0
    -1 0];
12
13 %apply the filter
14 ImageEnh = uint8(imfilter(Image, Mask));
```

3.2 nichtlineare Filter

3.2.1 Rangordnungsoperatoren - Median-Filter

Bei Randordnungsverfahren wird der Pixelwert anhand der Nachbarpixel neu gesetzt. Die größe der Umgebung kann dabei variieren. Be-

kannte Verfahren sind:

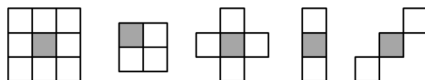
- Minimum Filter: Es wird der minimale Pixelwert der Nachbarpixel gewählt
- Median Filter: Es wird der mittlere Pixelwert der Nachbarpixel gewählt
- Maximum Filter: Es wird der maximale Pixelwert der Nachbarpixel gewählt

Lösung in MATLAB:

```
1 clear 'all'; close 'all'; format compact;
2
3 %read image
4 Image = imread('sample.png');
5
6 %apply a median filter
7 ImageMedian = medfilt2(ImageNoise, [3 3]);
8 ImageMedian = ordfilt2(ImageNoise, 5, ones(3,3));
9
10 %apply a min filter
11 ImageMin = ordfilt2(ImageNoise, 1, ones(3,3));
12
13 %apply a max filter
14 ImageMax = ordfilt2(ImageNoise, 9, ones(3,3));
```

3.2.2 morphologische Operatoren

Bei morphologischen Operationen wird die Umgebung eines Pixels auf eine bestimmte Struktur hin untersucht. Dazu wird ein Strukturelement verwendet, welches einen definierten Referenzpunkt hat.

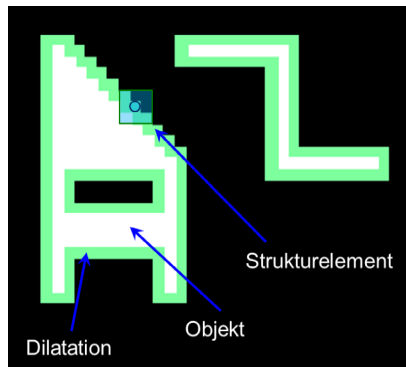


Morphologische Operatoren dienen dazu die Form von Objekten in definierte Weise zu verändern. Dies sind typisch:

- Löschen kleiner Objekte (z.B. Pixelrauschen)
- Schliessen von Löchern in Objekten
- Zusammenfassen von räumlich nahen Objekten
- Löschen aller Pixel im Inneren eines Objektes
- Reduzieren eines Objektes auf das Skelett

Dilatation

Bei der Dilatation wird das Strukturelement über das Bild geschoben. Dabei werden alle Referenzpunkte des Strukturelementes markiert, bei denen eine nicht verschwindende Schnittmenge mit dem Objekt auftritt.

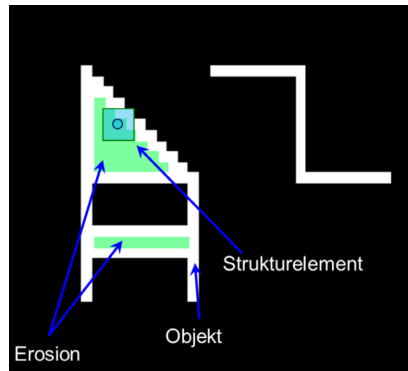


Mathematische Beschreibung:

$$I \otimes h = \left\{ (m, n) | (\hat{h})_{m,n} \cap I \neq \{\} \right\}$$

Erosion

Bei der Dilatation wird das Strukturelement über das Bild geschoben. Dabei werden alle Referenzpunkte des Strukturelementes markiert, bei denen das Strukturelement ganz in dem Objekt enthalten ist.



Mathematische Beschreibung:

$$I - h = \{(m, n) | (h)_{m,n} \subset I\}$$

Schliessung & Öffnung

Wenn die Dilatation und Erosion kombiniert werden, entstehen weitere wichtige Operatoren. Wird zuerst eine Dilatation dann eine Erosion ausgeführt, so entsteht eine Schliessung. Umgekehrt eine Öffnung. Mit der Schliessung können kleine Lücken geschlossen werden. Die Öffnung kann Bildrauschen entfernen, da kleine Teile entfernt werden.

Schliessung:

$$I \bullet h = (I \otimes h) - h$$

Öffnung:

$$I \circ h = (I - h) \otimes h$$

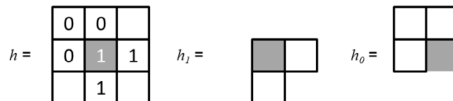
Lösung in MATLAB:

```
1 clear 'all'; close 'all'; format compact;
2
3 %read image
```

```
4 Image = imread('sample.png');
5
6 %define the structure element
7 StrucElem = strel('rectangle',[2 2]);
8
9 %do a dilation (result is binary)
10 ImageDil = imdilate(Image, StrucElem);
11
12 %do an erosion (result is binary)
13 ImageErode = imerode(Image, StrucElem);
14
15 %do a closure
16 ImageClose = imclose(Image, StrucElem);
17
18 %do an opening
19 ImageOpen = imopen(Image, StrucElem);
```

Hit- und Miss-Operation

Bei dieser Operation wird nicht nur geschaut, ob das Strukturelement in einem Objekt enthalten ist, sondern ob die Nachbarschaft eine vorgegebene Struktur hat.



0: Das Pixel muss den Wert 0 haben

1: Das Pixel muss den Wert 255 (bzw. 1) haben

„-“: Der Wert des Pixels wird nicht in Betracht gezogen.

Die mathematische Beschreibung:

$$I \pm h = (I - h_1) \cap (I^C - h_0)$$

I^C : Das Komplement aller Pixel ungleich Null vom Bild I

Hit- und Miss-Operation wird meist in Verbindung mit Verdünnungs-

und Verdickungs-Operationen verwendet:

$$\text{thin}(I, h) = I \cap (I \pm h)^C$$

Kapitel 4

Fourier-Transformation

4.1 1D Fourier-Transformation

Die Fourier Transformation dient dazu, für eine Funktion $h(x)$ im Ortsraum das zugehörige Frequenzspektrum im Ortsfrequenzraum $\hat{h}(f)$ zu bestimmen. Dabei gibt es grundsätzlich vier mögliche Anwendungsfälle und zugehörige Formulierungen der Fourier Transformation (FT):

Kontinuierliche FT einer aperiodischen Funktion $h(x)$:

$$\hat{h}(f) = \int_{-\infty}^{\infty} h(x) \cdot e^{-j \cdot 2\pi \cdot f \cdot x} dx \quad h(f) = \int_{-\infty}^{\infty} \hat{h}(x) \cdot e^{j \cdot 2\pi \cdot f \cdot x} df$$

Kontinuierliche FT einer X_0 -periodischen Funktion $h(x)$:

$$\hat{h}[n] = \frac{1}{X_0} \int_0^{X_0} h(x) \cdot e^{-j \cdot 2\pi \cdot f_0 \cdot x} dx \quad h(f) = \sum_{n=-\infty}^{\infty} \hat{h}[n] \cdot e^{j \cdot 2\pi \cdot n \cdot f_0 \cdot x}$$

$$f_0 = \frac{1}{X_0}$$

Im Falle einer periodischen Funktion besteht das Frequenzspektrum nur aus diskreten Werten an den Frequenzen $f_n = n \cdot f_0$.

Diskrete FT einer aperiodischen Funktion für äquidistante Abtastpunkte $h_n = h(n \cdot x_s)$:

$$\hat{h}(f) = \sum_{n=-\infty}^{\infty} h[n] \cdot e^{-j \cdot 2\pi \cdot f \cdot n \cdot x_s} \quad h[n] = \frac{1}{f_s} \int_0^{f_s} \hat{h}(f) \cdot e^{j \cdot 2\pi \cdot n \cdot x_s \cdot f} df$$

$$f_s = \frac{1}{x_s}$$

Bei Abtastung eines Signals mit dem Intervall x_s entsteht ein periodisches Frequenzspektrum der Periode f_s .

Diskrete FT einer X_0 -periodischer Funktion für äquidistante Abtastpunkte $h_n = h(n \cdot x_s)$:

$$\hat{h}[k] = \sum_{n=0}^{N-1} h[n] \cdot e^{-j \cdot 2\pi \cdot \frac{k \cdot n}{N}} \quad h[n] = \frac{1}{N} \sum_{k=0}^{N-1} \hat{h}[k] \cdot e^{j \cdot 2\pi \cdot \frac{k \cdot n}{N}}$$

$$x_s = \frac{X_0}{N}$$

Wird ein periodisches Signal mit $n \cdot x_0$ Intervallpunkten abgetastet, so hat die FT ein ebenfalls diskretes und periodisches Frequenzspektrum der Periode $f_s = \frac{1}{x_s} = \frac{N}{X_0}$.

Rechenregeln

$$\begin{aligned} \text{Linearität:} \quad & \mathcal{F}\{\lambda \cdot h(x)\} = \lambda \cdot \mathcal{F}\{h(x)\} \\ & \mathcal{F}\{h(x) + g(x)\} = \mathcal{F}\{h(x)\} + \mathcal{F}\{g(x)\} \\ \text{Verschiebung:} \quad & \mathcal{F}\{h(x + x_0)\} = e^{j \cdot 2\pi \cdot f \cdot x_0} \cdot \mathcal{F}\{h(x)\} \\ \text{Faltungssatz:} \quad & \mathcal{F}\{h(x) \otimes g(x)\} = \mathcal{F}\{h(x)\} \cdot \mathcal{F}\{g(x)\} \end{aligned}$$

4.2 Diskrete 2D Fourier-Transformation

Bei Annahme dass die Funktion in x -Richtung X_0 -periodisch und in y -Richtung Y_0 -periodisch ist ($X_0 = N \cdot x_s$, $Y_0 = M \cdot y_s$), so ist die 2D

DFT folgendermassen definiert:

$$\hat{h}[l, k] = \sum_{m=0}^{M-1} \sum_{n=0}^{N-1} h[m, n] \cdot e^{-j \cdot 2\pi \cdot \left[\frac{l \cdot m}{M} + \frac{k \cdot n}{N} \right]}$$
$$h[m, n] = \frac{1}{M \cdot N} \sum_{l=0}^{M-1} \sum_{k=0}^{N-1} \hat{h}[l, k] \cdot e^{j \cdot 2\pi \cdot \left[\frac{l \cdot m}{M} + \frac{k \cdot n}{N} \right]}$$

Lösung in MATLAB:

```
1 clear 'all'; close 'all'; format compact;
2
3 %read image
4 Image = imread('sample.png');
5
6 %calculate DFT (keep size of image)
7 Image_FFT = abs(fft2(Image));
8
9 %use fftshift to center the DFT
10 Image_ShiftFFT = fftshift(Image_FFT);
11
12 %caluclate the inverse fft
13 Inv_FFT = abs(ifft2(Image_ShiftFFT));
```

4.3 Periodische Strukturen

Periodische Strukturen führen auch zu einem periodischen Frequenzspektrum. Wenn das Bild jedoch nicht über den Bildrand hinaus periodisch ist, treten Fehler in der DFT auf. Dies kann korrigiert werden, indem eine Fensterfunktion angewendet wird, welche zum Rand des Bildes stetig nach Null abfällt.

Lösung in MATLAB:

```
1 clear 'all'; close 'all'; format compact;
2
3 %read image
```

```
4 Image = imread('sample.png');
5
6 %apply Hanning window
7 Hann = hann(ImgS(1))*hann(ImgS(2))';
8 Image_FFT_Ham = fft2(double(Image).*Hann);
9 imshow(log(abs(fftshift(Image_FFT_Ham))),[]);
```

4.4 Unterdrückung periodischer Störungen

Periodische Störungen haben auch eine periodische Auswirkung im Frequenzspektrum. Durch einen Notchfilter können diese selektiv ausgeblendet werden. So kann ein Grossteil des Rauschens eliminiert werden.

Lösung in MATLAB:

```
1 clear 'all'; close 'all'; format compact;
2
3 %read image
4 Image = imread('sample.png');
5 %shortcut
6 ImgS = size(Image);
7
8 SizeFFT = 256;
9
10 %do fft calculation
11 Image_FFT = fft2(Image, SizeFFT, SizeFFT);
12
13 %use imtool to find the positions of the frequencies
14 %imtool(log(abs(fftshift(Image_FFT))),[]);
15
16 NotchPos = [102, 107, 143, 95, 170, 116, 160, 151,114,
17             165, ...
18             90, 143, 140, 185, 118, 70]';
19
20 %apply the filter
21 Filter = NotchFilter( size(Image_FFT), NotchPos,
22                     6*ones(1,length(NotchPos)) );
23
24 %do the inverse fft
25 ImageIfft = abs(iff2(Image_FFT.*fftshift(Filter)));
```

```
24 %chose only the relevant part
25 ImageFilt = ImageIfft(1:ImgS(1), 1:ImgS(2));
```

4.5 Deconvolution

Ein Bild, welches durch einen Filter unscharf gezeichnet wurde, kann durch Deconvolution wieder hergestellt werden. Dabei wird der Faltungssatz angewendet.

Lösung in MATLAB:

```
1 clear 'all'; close 'all'; format compact;
2
3 %read image
4 Image = imread('sample.png');
5
6 %construct the maks
7 Mask = fspecial('gaussian',7,10);
8
9 %sigma of added gaussian noise
10 V = .000;
11
12 %apply noise and blur
13 BlurredNoisy = imnoise(imfilter(Image,Mask),'gaussian',0,
    V);
14
15 %image buffer for the result
16 WT = zeros(size(Image));
17 WT(5:end-4,5:end-4) = 1;
18
19 %we assume to now only the size of the mask
20 InitMask = ones(size(Mask));
21 %perform deconvolution (P - recovered Mask, J - deblurred
    Image)
22 [J P] = deconvblind(double(BlurredNoisy),InitMask,
    20,10*sqrt(V),WT);
```


Kapitel 5

Segmentierung und Merkmalsextraktion

5.1 Automatisierte Schwellwertbestimmung

Das Verfahren von Otsu basiert darauf, dass alle Grauwerte in zwei Klassen eingeteilt werden ($C_0 = \{0, 1, \dots, K\}$ und $C_1 = \{K+1, \dots, 255\}$). K stellt den zu optimierenden Schwellwert dar. Es wird angenommen, dass das Bild eine bimodale Grauwertverteilung hat. Das Bild zerfällt in zwei Klassen mit relativ homogenen Grauwerten. Der Schwellwert K wird so optimiert, dass die Varianzen innerhalb der Klassen möglichst klein sind.

Wahrscheinlichkeit für Auftreten von Klasse C_0 bzw. C_1 :

$$\omega_0 = \sum_{g=0}^K p_I(g) \quad \omega_1 = \sum_{g=K+1}^{255} p_I(g)$$

Mittelwert der Grauwerte von Klasse C_0 bzw. C_1 :

$$\mu_0 = \frac{1}{\omega_0} \sum_{g=0}^K p_I(g) \cdot g \quad \mu_1 = \frac{1}{\omega_1} \sum_{g=K+1}^{255} p_I(g) \cdot g$$

KAPITEL 5. SEGMENTIERUNG UND MERKMALSEXTRAKTION

Varianz der Grauwerte von Klasse C_0 bzw. C_1 :

$$\sigma_0^2 = \frac{1}{\omega_0} \sum_{g=0}^K p_I(g) \cdot (g - \mu_0)^2 \quad \sigma_1^2 = \frac{1}{\omega_1} \sum_{g=K+1}^{255} p_I(g) \cdot (g - \mu_1)^2$$

Intra-Klassen Varianz:

$$\sigma_W^2 = \omega_0 \cdot \sigma_0^2 + \omega_1 \cdot \sigma_1^2$$

Optimaler Schwellwert nach Otsu:

$$K_{opt} = \arg \min \{\sigma_w\}$$

Dargestellt mit der Inter-Klassen Varianz:

$$\sigma_B^2 = \omega_0 \cdot (\mu_0 - \mu_T)^2 + \omega_1 \cdot (\mu_1 - \mu_T)^2$$

Globaler Mittelwert aller Grauwerte:

$$\mu_T = \sum_{g=0}^{255} p_I(g) \cdot g$$

Da die Summe der Intra-Klassen Varianz und der Inter-Klassen Varianz konstant ist, kann anstatt σ_W minimiert, σ_B maximiert werden. Dies hat den Vorteil, dass die Inter-Klassen Varianz einfach berechnet werden kann.

$$K_{opt} = \arg \max \{\sigma_B\}$$
$$\sigma_B^2 = \omega_0 \cdot \omega_1 \cdot (\mu_0 - \mu_1)^2$$

Lösung in MATLAB:

```
1 clear 'all'; close 'all'; format compact;
2
3 %read image
4 Image = imread('sample.png');
5
```

```
6 %get graythreshold (value from 0.0 to 1.0)
7 Threshold = graythresh(Image);
8
9 %make binary image
10 BW =im2bw(Image,Threshold);
```

Lösung in MATLAB:

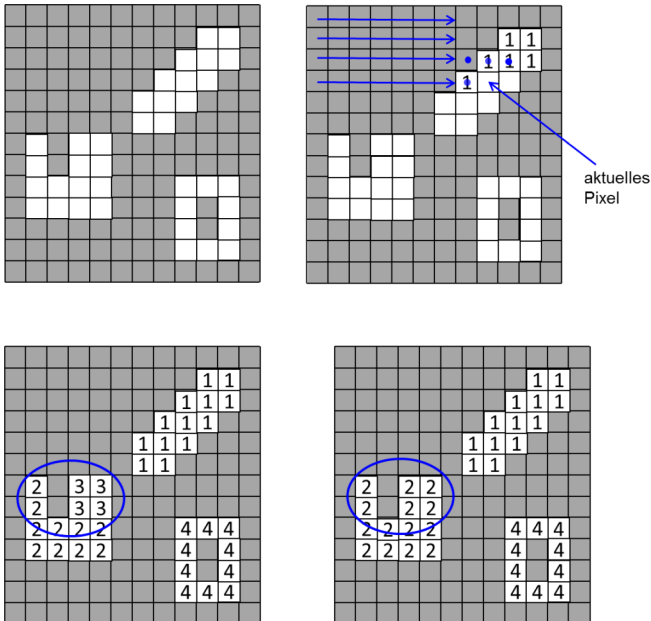
```
1 function Threshold = OwnOtsu(Image)
2
3
4 %determine image histogram
5 [Hist, Vals]=imhist(Image);
6
7 %normalize it
8 Hist = Hist/sum(Hist);
9
10
11 %define mean
12 Mean = Hist.*[0:255]';
13
14 %apply Otsu's method
15 Thresh = [];
16 %loop over grey values
17 for Ind = 1:255
18     %probability for class 0
19     w0 = sum(Hist(1:Ind));
20     %probability for class 1
21     w1 = sum(Hist(Ind+1:end));
22     %mean for class 0
23     m0 = sum(Mean(1:Ind))/w0;
24     %mean for class 1
25     m1 = sum(Mean(Ind+1:end))/w1;
26     %store the intra-class probability for this threshold
27     Thresh = [Thresh, w0*w1*(m0-m1)^2];
28 end
29
30 %find the maximum value
31 [MaxThresh, MaxVal]=max(Thresh);
32 %have to subtract one because we used the index of [0 255]
33 Threshold = MaxVal-1;
```

5.2 Beschreibung der ROIs

Für die Verarbeitung müssen ROIs (Region of Interest) beschrieben werden, um in einem weiteren Schritt deren Merkmale zu extrahieren.

5.2.1 Region Labeling

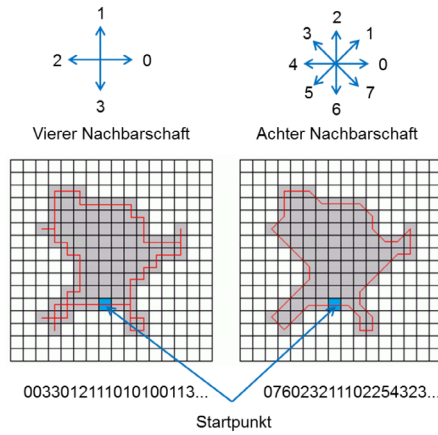
Beim Region Labeling wird das Bild zeilenweise durch iteriert. Dabei wird jedem Pixel ungleich Null ein Label zugeordnet. Wenn ein Nachbarpixel (Achter-Nachbarschaftsrelation) bereits ein Label enthält, erhält das aktuelle Pixel das gleiche Label, sonst ein neues. Am schluss wird noch überprüft, ob die Label Werte der Nachbarpixel unterschiedlich sind. Falls dies der Fall ist, so wird in einer Lookup Tabelle festgehalten, dass die entsprechenden Label Werte zu einem Objekt gehören. In einem weiteren Durchgang werden die Labelwerte einer Gruppe durch den kleinsten Wert der Gruppe ersetzt.



5.2.2 Kettencode

Da das Region Labeling häufig einen relativ grossen Speicherbedarf hat, werden in der Regel Kettencodes zur Beschreibung von ROIs verwendet.

Die Idee ist, die Randpixel einer ROI, ausgehen von einem definierten Startpunkt, in sukzessiver Folge nur durch die jeweilige Schritttrichtung vom letzten zum aktuellen Randpixel zu definieren.



5.3 Merkmalsextraktion

Basierend auf der Beschreibung der ROIs mittels Region Labels oder Kettencodes können nun einfach verschiedene ROI Merkmale extrahiert werden.

Fläche der ROI:

$$A = \sum_{I_{mn} \in ROI} 1$$

KAPITEL 5. SEGMENTIERUNG UND MERKMALSEXTRAKTION

Berechnung anhand von Kettencodes mit dem Crack Code (stellt die Trennlinie zwischen Vorder- und Hintergrund dar):

$$A = - \oint_{Rand} y(x) dx = \sum_{I_{mn} \in \{2-Seg.\}} m - \sum_{I_{mn} \in \{0-Seg.\}} m$$

Massenmittelpunkt der ROI:

$$x_s = \frac{1}{A} \sum_{I_{mn} \in ROI} n \quad y_s = \frac{1}{A} \sum_{I_{mn} \in ROI} m$$

Umfang der ROI:

Im Falle einer Crack Code basierten Beschreibung der ROIs ist der Umfang einfach durch die Anzahl der Segmente des Codes geben.

Orientierung der ROI:

Die Orientierung einer ROI ist definiert als der Winkel zwischen der x-Achse und der längeren der beiden Halbachsen der ROI. Dabei sind die Halbachsen bestimmt durch die Eigenvektoren der symmetrischen Matrix bestehend aus den zweiten Momenten M_{xy} der ROI:

$$M = \begin{bmatrix} M_{xx} & M_{xy} \\ M_{xy} & M_{yy} \end{bmatrix}$$

$$M_{xx} = \frac{1}{A} \sum_{I_{mn} \in ROI} n^2 - x_s^2 \quad M_{yy} = \frac{1}{A} \sum_{I_{mn} \in ROI} m^2 - y_s^2$$
$$M_{xy} = \frac{1}{A} \sum_{I_{mn} \in ROI} n \cdot m - x_s \cdot y_s$$

Bounding Box

Dies ist das kleinste Rechteck, das die ROI noch ganz umschließt. Es ist vor allem nützlich, um schnell Tests bezüglich von Einflussregionen durchzuführen.

Lösung in MATLAB:

```
1 clear 'all'; close 'all'; format compact;
2
3 %read image
4 Image = imread('sample.png');
5
6 %do labeling (use 8 neighbors, the default)
7 [LabelImage, NumberLabels] = bwlabel(Image);
8
9 %do feature extraction
10 Prop = regionprops(LabelImage, 'Area', 'Centroid',
11                    'Orientation', 'BoundingBox', 'ConvexHull');
12 %the result is the structure array Prop, with NumLabels x
13   1 entries
14
15 for Ind=1:size(Prop,1)
16     %%Area
17     Area=Prop(Ind).Area;
18     %%Center
19     Cent=Prop(Ind).Centroid;
20     X=Cent(1);Y=Cent(2);
21     %%ConvexHull
22     Xv = Prop(Ind).ConvexHull(:,1);
23     Yv = Prop(Ind).ConvexHull(:,2);
24     line(Xv, Yv, 'LineWidth',1,'Color',[1 0 0]);
25     %%Orientation
26     Orient = Prop(Ind).Orientation;
27     %draw a line through the centroid with given orientation
28     Len = sqrt(Prop(Ind).Area);
29     Shift = Len*exp(-i*pi*Orient/180);
30     line([X-real(Shift) X+real(Shift)], [Y-imag(Shift)
31     Y+imag(Shift)], 'Color',[0 1 0]);
32     %%BoundingBox
33     BBox = Prop(Ind).BoundingBox;
34     %construct the bounding box using line or rectangle
35     rectangle('Position', BBox, 'EdgeColor',[0 1 0]);
36 end
```


Kapitel 6

Linien-Segmentierung und Merkmalsextraktion

6.1 Kantendetektion

Die Bestimmung der Kanten durch Anwendung des Gradienten Filters und einem Schwellwert erzielt kein zufriedenstellendes Kantenbild. Es treten mehrere Probleme dabei auf:

- Die Kanten sind deutlich breiter als ein Pixel, was eine nicht präzise räumliche Lokalisierung der Kanten bedeutet und zusätzlich eine unnötige Redundanz darstellt.
- Die Wahl eines globalen Schwellwertes ergibt nicht in allen Bildbereichen zufriedenstellende Resultate: Entweder treten Kanten zu häufig auf, oder Kanten werden nicht detektiert. Auch ist die Schwellwertwahl manuell.
- Zusammengehörige Kanten sind, vor allem bei hohem Schwellwert, unterbrochen.

Der Canny Algorithmus zur Kantendetektion löst diese Probleme. Er geht dabei folgendermassen vor:

1. Glättung

Das Bild wird mittels Gauss Filter geglättet (mit parametrierbarer Breit σ)

$$G_{pq}(\sigma) = \frac{1}{2\pi \cdot \sigma^2} \cdot e^{-\frac{p^2+q^2}{2 \cdot \sigma^2}}$$

2. Kantenfilter

Anwendung eines Standard Knatenfilters (Sobel, Prewitt) zur Bestimmung des Betrages und der Richtung des Gradienten in jedem Bildpunkt.

3. Bestimmung der lokalen Maxima

Basierend auf der Richtung des Gradienten wird für jeden Bildpunkt ermittelt, ob es sich um ein lokales Maximum handelt. Hierzu wird die Änderung der Grauwerte entlang der Richtung des Gradienten betrachtet und das Pixel nur dann selektiert, wenn es einen Gradienten Betrag grösser als die Nachbapixel hat.

4. Kantenextraktion

In einem letzten Schritt werden nun die eigentlichen Kanten selektiert. Hierzu ist ein (manueller) Schwellwert („oberer Schwellwert“) für den Gradienten Betrag zu setzen, oberhalb dessen ein Pixel als Kante betrachtet wird. Wird ein Pixel gefunden, das dem oberen Schwellwertkriterium genügt, werden alle Pixel entlang einer Linie, die dem lokalen Maximum folgt und die einem schwächeren Schwellwertkriterium („unterer Schwellwert“) genügen, zur Kante hinzugefügt. Durch diese Hysterese kann der Canny Algorithmus sehr dynamisch auf Kontrastschwankungen im Bild reagieren.

Lösung in MATLAB:

```
1 clear 'all'; close 'all'; format compact;
2
3 %read image
4 Image = imread('sample.png');
5
6 %upper and lower threshold for edge detection (relative to
   max gradient
7 %value)
```

```

8 Threshold = [0.0 0.05];
9 %width of Gaussian
10 Sigma = 1;
11 %apply a certain threshold
12 [EdgeCanny, Threshold] = edge(Image, 'canny', Threshold,
    Sigma);
13 imshow(EdgeCanny, [0 255]);

```

6.2 Linienextraktion (Hough-Transformation)

Die grundsätzliche Idee der Hough Transformation besteht in der Verwendung der Gradienten Information (Betrag und Richtung), um alle Kantenpunkte vom x - y -Raum in einen neuen Parameterraum zu transformieren, in dem Punkte, die auf einer gemeinsamen Geraden liegen, zum gleichen Parametersatz gehören.

Parametrierung einer Geraden (Hessesche Normalform):

$$\rho = x \cdot \cos \alpha + y \cdot \sin \alpha$$

Die Hough Transformation nutzt die Tatsache aus, dass alle Punkte auf einer gemeinsamen Gerade die gleiche Parameterwerte von α und ρ besitzen.

Lösung in MATLAB:

```

1 clear 'all'; close 'all'; format compact;
2
3 %read image
4 Image = imread('sample.png');
5
6 % Detect the edges, the result is a binary image
7 EdgeCanny = edge(Image, 'canny', [0 0.1], 1);
8
9 % Hough transformation, calculate the accumulator Hough
10 [Hough, Alpha, Rho] = hough(EdgeCanny, 'RhoResolution',
    2, 'Theta', -90:2:89.5);
11
12 % Find at most 5 peaks with threshold 15 and minimim
    distance of 15, 15

```

```
13 % pixel
14 NumPeaks = 5;
15 HoughPeaks = houghpeaks(Hough,
    NumPeaks, 'Threshold', 5, 'NHoodSize', [15, 15]);
16
17 % Find the lines that correspond to the peaks; fill gabs
    of 15 pixel and
18 % suppress all (merged lines) that have a length less than
    30 pixel
19 Lines = houghlines(EdgeCanny, Alpha, Rho, HoughPeaks,
    'FillGap', 15, 'MinLength', 50);
```

6.3 Detektion von Kreisen mittels Hough Transformation

Ausgehend von einem Punkt (x, y) auf dem Rand des Kreises kann der Mittelpunkt des Kreises erreicht werden, indem man sich um die Länge R (Radius des Kreises) in die negative Richtung des Gradienten Vektors bewegt.

$$x_c = x - R \cdot \frac{\partial I}{\partial x} \cdot \left[\frac{dI}{dr} \right]^{-1} \quad y_c = y - R \cdot \frac{\partial I}{\partial y} \cdot \left[\frac{dI}{dr} \right]^{-1}$$

Den Punkt (x_c, y_c) für alle Werte des Kreises akkumuliert, sollte ein Peak im Mittelpunkt des Kreises resultieren.

Lösung in MATLAB:

```
1 clear 'all'; close 'all'; format compact;
2
3 %read image
4 Image = imread('sample.png');
5
6 %choose the filters
7 Sobel = 1;
8 if Sobel == 1
9     DX = fspecial('sobel');
10    DY = fspecial('sobel');
11 else
```


6.3. DETEKTION VON KREISEN MITTELS HOUGH TRANSFORMATION

```
12 DX = fspecial('prewitt');
13 DY = fspecial('prewitt');
14 end
15
16 %apply the DX and DY filter (use symmetric boundary
    conditions to avoid
17 %border effects
18 ImageDx = imfilter(double(Image), DX, 'symmetric');
19 ImageDy = imfilter(double(Image), DY, 'symmetric');
20
21 %calculate the norm of the dervative
22 ImageDr = sqrt(ImageDx.*ImageDx+ImageDy.*ImageDy);
23
24 UseCanny = 1;
25 if UseCanny == 1
26     %apply a certain threshold
27     [EdgeCanny, Threshold] = edge(Image, 'canny', [0.0
        0.1], 1);
28
29     %we use both the indices and the x-y-values of the
        edges
30     Indices = find(EdgeCanny ~= 0);
31     [Yw, Xw] = find(EdgeCanny ~= 0);
32 else
33     %we require a threshold; the edges could also be
        chosen with a Canny edge
34     %detection in parallel
35     Threshold = 0.3*max(max(ImageDr));
36     %we use both the indices and the x-y-values of the
        edges
37     Indices = find(ImageDr > Threshold);
38     [Yw, Xw] = find(ImageDr > Threshold);
39 end
40
41 %this is the accumulator image
42 Acc = zeros(size(Image));
43 %here the range of radius' is chosen
44 for Radius = 20:30
45     Dx = ImageDx(Indices);
46     Dy = ImageDy(Indices);
47     Dr = ImageDr(Indices);
48     if Invert == 1
49         xc = Xw+Radius*Dx./Dr;
50         yc = Yw+Radius*Dy./Dr;
51     else
52         xc = Xw-Radius*Dx./Dr;
53         yc = Yw-Radius*Dy./Dr;
54     end
```

KAPITEL 6. LINIEN-SEGMENTIERUNG UND MERKMALSEXTRAKTION

```
55     %we construct all indices corresponding to a fixed
        radius
56     Inds = round(yc)+size(Image,1)*(round(xc)-1);
57     %map out values out of the image boundary
58     Inds = Inds(0 < Inds & Inds < prod(size(Image)));
59     %accumulate
60     Acc(Inds) = Acc(Inds)+1;
61 end
```